

Potensialer og addert masse

Krefter og Respons i hiv

Ole

Vår 2025



Del 1 - Geometri som beveger seg i fluid

Randverdi i 2D

Sirkel

Ellipser

Kvadrat

Del 2 - Krefter og respons i hiv

Radasjonsproblemet

Diffraksjonsproblemet

Respons i hiv

Randverdi i 2D

Vi har en geometri som beveger seg med en fart U i et ubegrenset fluid. Bevegelsen i fjernfeltet er null. Løsningen på problemet finnes ved å løse integrallikningen:

$$-\pi\phi(\bar{x}, \bar{y}) + \int_{S_B} \phi \frac{\partial}{\partial n} \ln r dS = \int_{S_B} \frac{\partial \phi}{\partial n} \ln r dS \quad (1)$$

der $\partial\phi/\partial n = n_1$ langs med S_B .



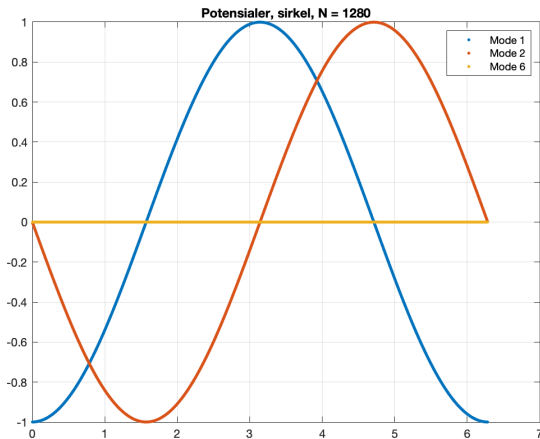
Likninger på diskret form

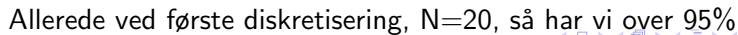
Potensialet

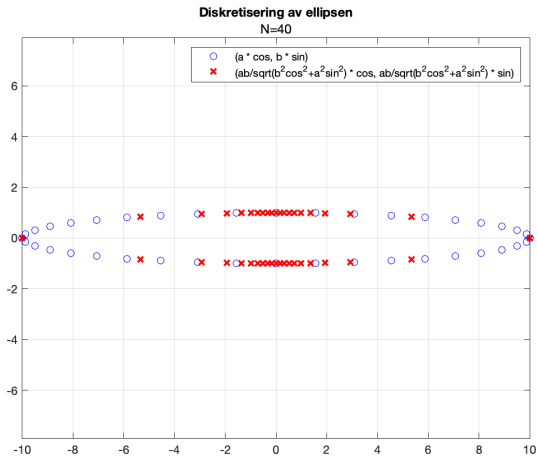
$$-\pi\phi_n + \sum_{m=1}^N \phi_m (-\Delta\Theta_{n,m}) = \sum_{m=1}^N \left[\frac{\partial\phi}{\partial n} \right]_m h_{n,m} \quad (2)$$

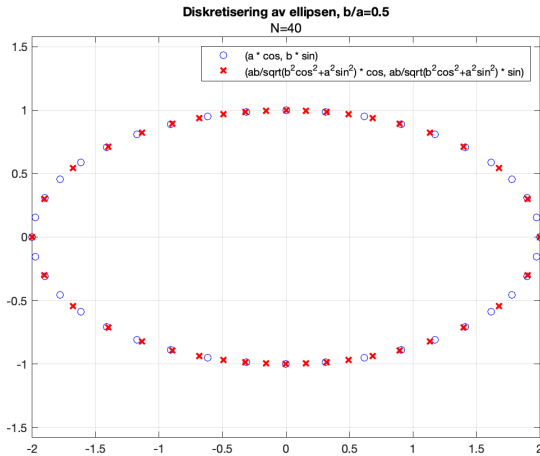
Addert masse kan approksimeres slik:

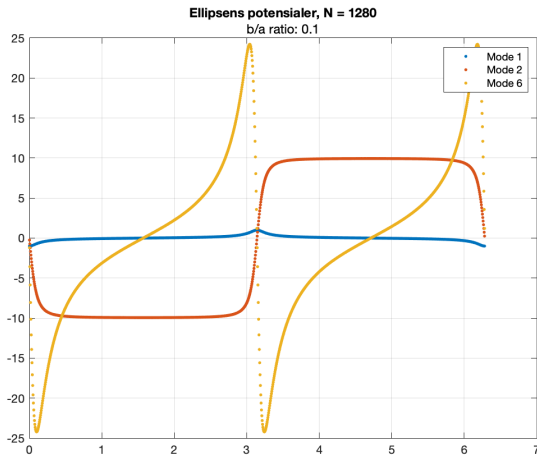
$$m_{ij} = -\rho \int_S \phi_j n_i dS \simeq -\rho \sum_{m=1}^N [\phi_j]_m [n_i]_m \Delta S_m. \quad (3)$$

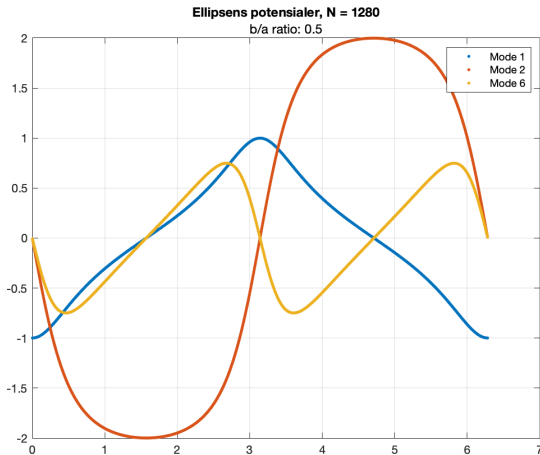


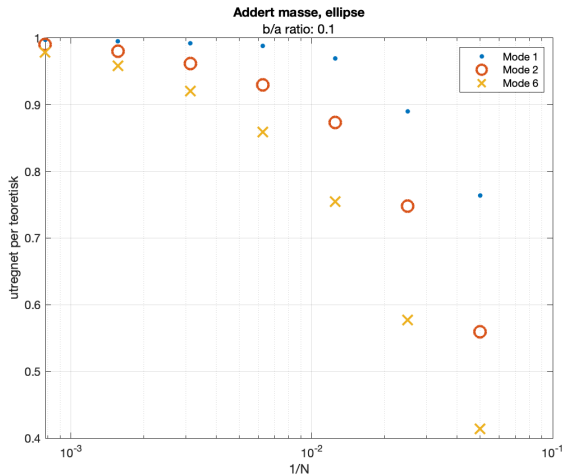




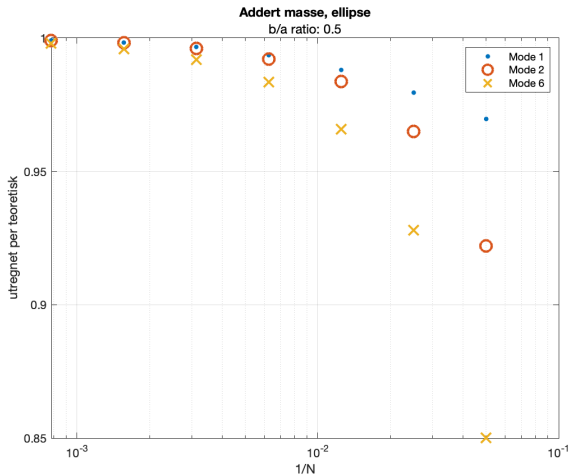




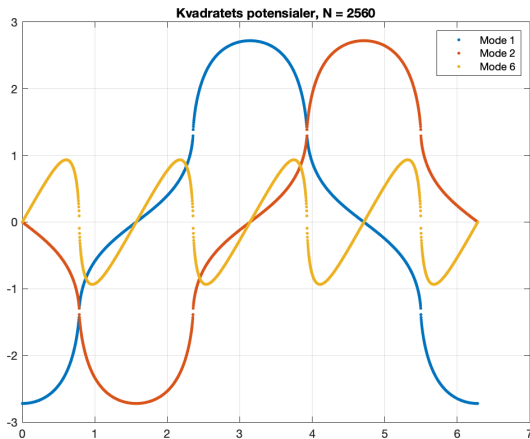


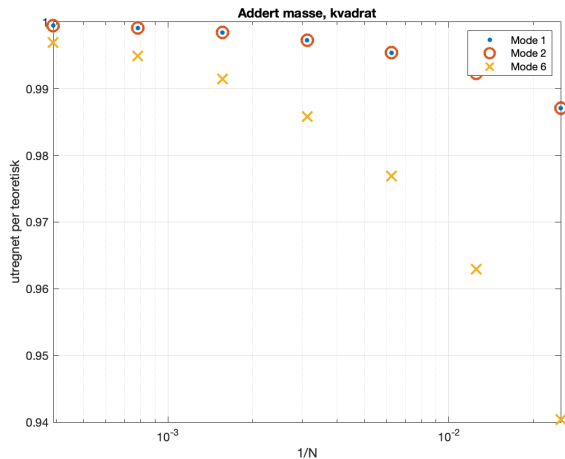


$N = 20, 40, 80, 160, 320, 640, 1280.$



$N = 20, 40, 80, 160, 320, 640, 1280.$





$N = 40, 80, 160, 320, 640, 1280, 2560.$



Vi har sett på 3 geometrier: sirkel, ellipse, og kvadrat. Vi har sett at den utregnede adderte massen konvergerer mot den teoretiske, med ulik hastighet, når vi øker N diskretiseringspunkter. Det er fasongen på geometrien som avgjør den adderte massen.



Del 2 - Krefter og respons i hiv

Vi ønsker å se på kreftene som virker på et flytende legme. Kun i hiv.

1. Radiasjonsproblemet
2. Diffraksjonsproblemet
3. Respons i hiv

Radiasjonsproblemet

Radiasjonspotensialet er gitt ved

$$\Phi_R(x, y, t) = \text{Re}\left(i\omega\xi_2\phi_2(x, y)e^{i\omega t}\right), \quad (4)$$

Randbetingelsene for problemet.

1. Kinematisk grensebetingelse: $g\frac{\partial\phi_2}{\partial y} = -\omega^2\phi_2$
2. Uendelig dyp: $|\nabla\phi_2| \rightarrow 0$, når $y \rightarrow -\infty$
3. Fluidet er inkompressibelt, uten virvling. LAPLACE $\nabla^2\phi_2 = 0$ i fluidet.

Vi konstruerer en GREEN-funksjon som oppfyller de samme randbetingelsene, bortsett fra i en liten omegn om singulariteten.

Bølge-Green-funksjon

$$g(x, y; \bar{x}, \bar{y}, t) = \text{Re}(G(x, y; \bar{x}, \bar{y}, t)e^{i\omega t}),$$

$$G(x, y; \bar{x}, \bar{y}, t) = \log(r/r_1) + \text{Re}(f_1) + i\text{Re}(f_2),$$

$$r = \sqrt{(x - \bar{x})^2 + (y - \bar{y})^2}$$

$$f_1 = 2PV \int_0^\infty \frac{e^{-ik(z - \bar{\zeta}^*)}}{K - k} dk = -2e^Z (E_1(Z) + \log Z - \log(-Z))$$

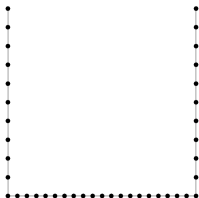
$$f_1 \rightarrow \pm 2\pi e^Z, x - \bar{x} \rightarrow \pm \infty$$

$$f_2 = 2\pi e^Z$$

$$Z = K(y + \bar{y}) - iK(x - \bar{x})$$



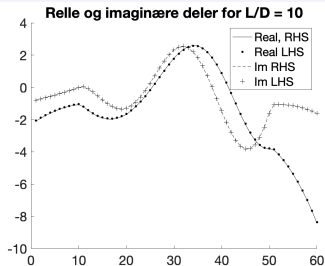
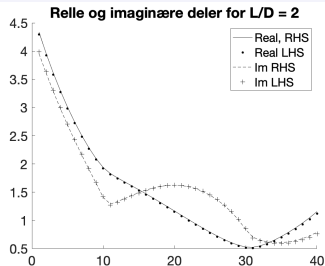
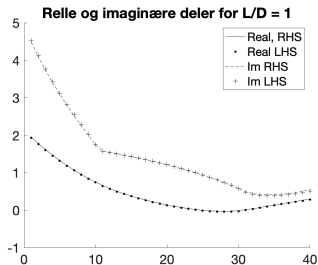
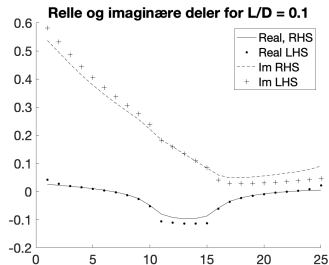
Figure: $L/D = 2$

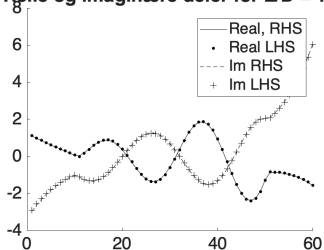
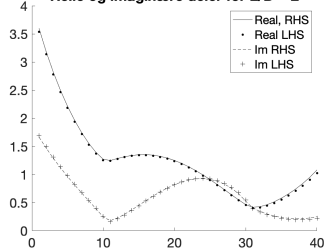
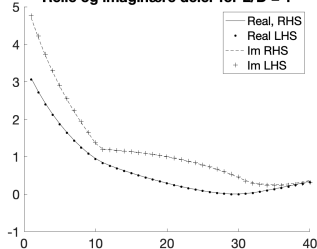
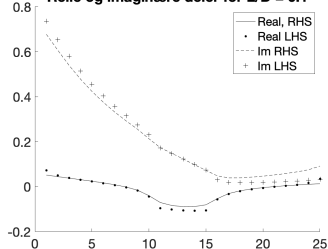


Vi ønsker å løse integrallikningen:

$$-\pi\phi_2 + \int_{S_B} \phi_2 \frac{\partial G}{\partial n} dS = \int_{S_B} G n_2 dS \quad (5)$$

Men før vi gjør det vil vi sjekke at likningen fungerer. Så vi løser høyre- og venstresiden av en integrallikning der vi kjenner alle variablene. Vi ønsker å se om den reelle delen til høyresiden tilsvarer den reelle delen til venstresiden, og tilsvarende for de imaginære delene.

Figure: $L/D = 10$ Figure: $L/D = 2$ Figure: $L/D = 1$ Figure: $L/D = 0.1$

Relle og imaginære deler for $L/D = 10$ Figure: $L/D = 10$ Relle og imaginære deler for $L/D = 2$ Figure: $L/D = 2$ Relle og imaginære deler for $L/D = 1$ Figure: $L/D = 1$ Relle og imaginære deler for $L/D = 0.1$ Figure: $L/D = 0.1$



Løsning for potensialet i hiv

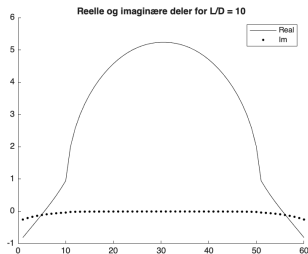


Figure: $L/D = 10$

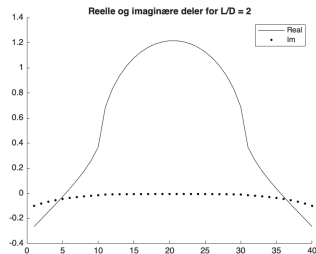
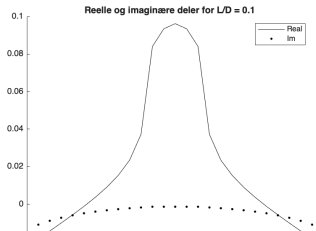
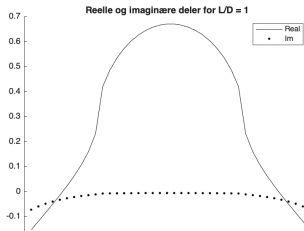


Figure: $L/D = 2$



Finne addert masse og dempning

Vi bruker den numeriske løsningen til ϕ_2 langs S_B for å regne addert masse a_{22} og dempning b_{22} .

$$F_{ij}(t) = -\rho\omega^2 \int_{S_B} \phi_i \hat{n}_j dS = -\omega^2 \xi_2 a_{22} + i\omega \xi b_{22} \quad (6)$$

Vi regner også ut b_{22} fra energibalansen.

$$\frac{1}{2} |\xi|^2 \omega^2 b_{22} = \bar{E}^\infty c_g + \bar{E}^{-\infty} c_g \quad (7)$$

$$\frac{b_{22}}{\rho\omega} = \frac{1}{2} (|A_2^\infty|^2 + |A_2^{-\infty}|^2) \quad (8)$$



Added mass and damping L/D

L/D = 10

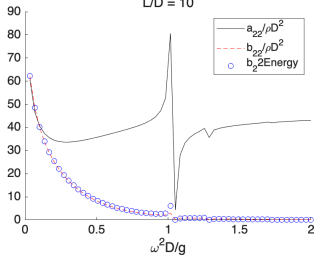


Figure: L/D = 10

Added mass and damping L/D

L/D = 2

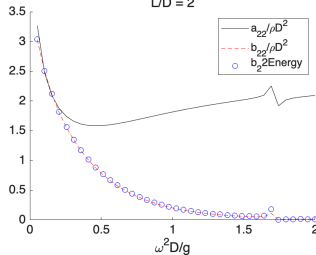


Figure: L/D = 2

Added mass and damping L/D

L/D = 1

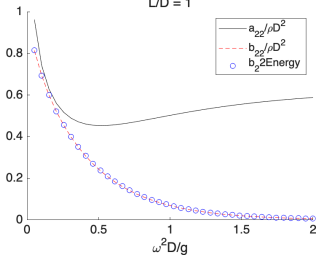


Figure: L/D = 1

Added mass and damping L/D

L/D = 0.1

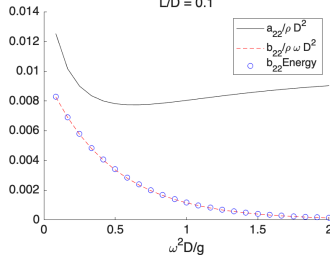


Figure: L/D = 0.1

Sparbøye - fritt flytende

Utgangspunkt fra Froude-Krylov approksimasjon for å estimere eksitasjonskraften. D er dypgang og L er lengden.

$$X_2^{FK} = -i\omega\rho \int_{S_B} \phi_0 n_2 dS = \rho g \int_{-L/2}^{L/2} e^{-KD-iKx} dx = \rho g L e^{-KD} \frac{\sin(KL/2)}{KL/2} \quad (9)$$

$$X_2^{FK} = \rho g L e^{-KD}, \quad \text{fordi } \frac{\sin(KL/2)}{KL/2} \simeq 1, \frac{KL}{2} \ll 1 \quad (10)$$

Vi har $c_{22} = \rho g L$. Fra Haskindrelasjonene finner vi

dempningskoeffisienten: $\frac{b_{22}}{\rho\omega} = \frac{|X_2|^2}{(\rho g)^2}$

Vi finner så responsen i hiv.

$$(c_{22} - \omega^2(m_{22} + a_{22}) + i\omega b_{22})\xi_2 = A X_2 \quad (11)$$

$$\frac{\xi_2}{A} = \frac{e^{-KD}}{1 - KD + iKLe^{-2KD}} \quad (12)$$

Diffraksjonsproblemet

Geometrien holdes fast. Fluidets bevegelse er gitt ved

$$\Phi_D(x, y, t) = \text{Re}\left(A\phi_D(x, y)e^{i\omega t}\right), \quad (13)$$

Spredningen ϕ_7 er ukjent.

Integrallikningen vi bruker for å bestemme summen $\phi_D = \phi_0 + \phi_7$ til et punkt (\bar{x}, \bar{y}) på S_B er

$$-\pi\phi_D(\bar{x}, \bar{y}) + \int_{S_B} \phi_D \frac{\partial G}{\partial n} dS = -2\pi\phi_0 \quad (14)$$

Eksitasjonskraften

Vi ønsker å finne eksitasjonskraften numerisk.

$$F_j(t) = \int_{S_B} -\rho \frac{\partial \Phi_D}{\partial t} n_j dS = \text{Re}(AX_j e^{i\omega t}) \quad (15)$$

$$\frac{X_2}{\rho g} = -\frac{i\omega}{g} \int_{S_B} \phi_D n_2 dS \quad (16)$$

Haskindrelasjonene

Første haskind-relasjon

$$\frac{\chi_2^{\text{Haskind v1}}}{i\omega\rho} = - \int_{S_B} \left(\phi_0 \frac{\partial \phi_2}{\partial n} - \phi_2 \frac{\partial \phi_0}{\partial n} \right) dS \quad (17)$$

Andre haskind-relasjon

$$\frac{\chi_2^{\text{Haskind v2}}}{i\omega\rho} = \int_{S_\infty} \left(\phi_0 \frac{\partial \phi_2}{\partial n} - \phi_2 \frac{\partial \phi_0}{\partial n} \right) dS = \frac{\omega}{k} A_2^{-\infty}, \quad (18)$$

Fjernfeltet ϕ_2 er gitt ved

$$\phi_2 = A_2^{\pm\infty} e^{K(y \mp ix)}, \quad x \rightarrow \pm\infty \quad (19)$$



Eksitasjonskraften

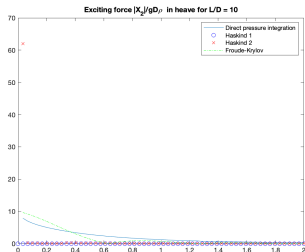


Figure: $L/D = 10$

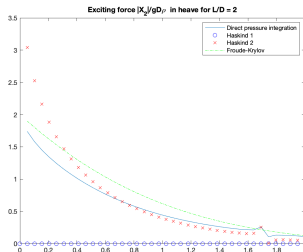
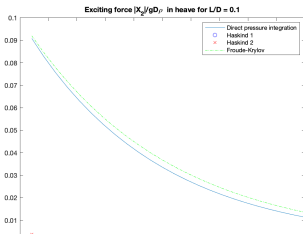
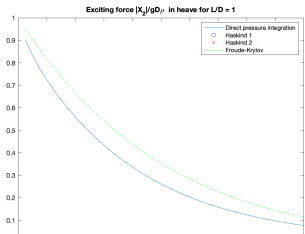


Figure: $L/D = 2$



Respons i hiv

Likning for bevegelsen, kun i hiv, er gitt ved

$$(-\omega^2(m + a_{22}) + i\omega b_{22} + c_{22})\xi_2 = AX_2, \quad (20)$$

$$\frac{|\xi_2|}{A} = \frac{X_2}{c_{22} - \omega^2(m + a_{22}) + i\omega b_{22}}, \quad (21)$$

der $c_{22} = \rho g S$. Svømmeflaten S i vårt todimensjonale tilfelle er lengden på geometrien. m er massen til geometrien, som for et fritt flytende legeme er lik oppdriftskraften. Den adderte massen blir $a_{22} = \rho \forall = \rho L D$. b_{22} er

$$b_{22} = \frac{K}{4\rho g V_g} |X_2|^2. \quad (22)$$

Resonansfrekvens

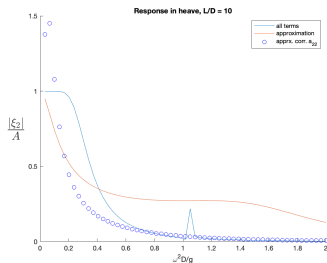
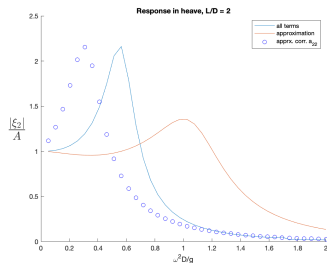
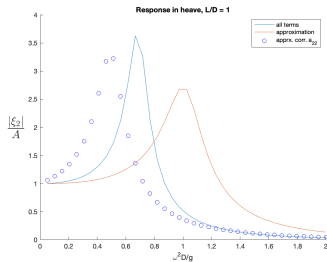
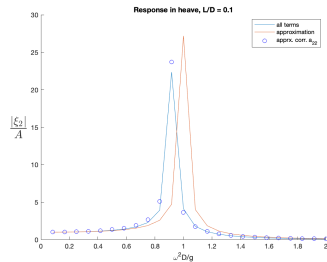
Resonansfrekvensen ω_n oppstår der de hydrostatiske kreftene balanserer treghetskreftene, $c_{22} - \omega^2(m + a_{22}) = 0$.

Resonansfrekvensen for en fritt flytende todimensjonal rektangulær seksjon med bredde L og dypgang $D=1$ blir,

$$\omega_n^2 = \frac{g}{D} \frac{1}{1 + \frac{a_{22}}{\rho D L}}, \quad (23)$$

Table: Resonansfrekvens

L/D	10	2	1	0.1
a_{22}	40	1.8	0.5	0.009
$\frac{\omega_n^2}{g}$	0.2	0.53	0.67	0.92

Figure: $L/D = 10$ Figure: $L/D = 2$ Figure: $L/D = 1$ Figure: $L/D = 0.1$



Takk for meg